



REPUBLICA MOLDOVA



(19) Agenția de Stat
pentru Proprietatea Intelectuală

(11) **1308** (13) **Z**
(51) Int.Cl: *G08B 13/00* (2006.01)
G08B 13/02 (2006.01)
G08B 13/18 (2006.01)
G08B 13/186 (2006.01)
G08B 13/187 (2006.01)

(12) BREVET DE INVENȚIE
DE SCURTĂ DURATĂ

<p>(21) Nr. depozit: s 2017 0106 (22) Data depozit: 2017.10.19</p>	<p>(45) Data publicării hotărârii de acordare a brevetului: 2019.01.31, BOPI nr. 1/2019</p>
<p>(71) Solicitant: INSTITUTUL DE FIZICĂ APLICATĂ AL ACADEMIEI DE ȘTIINȚE A MOLDOVEI, MD (72) Inventatori: CULEAC Ion, MD; ENĂCHESCU Marian, RO; BORSCIOV Victor, MD; VERLAN Victor, MD; COJOCARU Ion, MD; IOVU Mihai, MD; JDERU Alexandru-Alin, RO; DOROBANȚU Dorel, RO (73) Titular: INSTITUTUL DE FIZICĂ APLICATĂ AL ACADEMIEI DE ȘTIINȚE A MOLDOVEI MD</p>	

(54) Sistem de semnalizare cu fibră optică și procedeu de localizare a intervenției neautorizate cu ajutorul acestuia

(57) Rezumat:

1

Invenția se referă la optoelectronică, și anume la sisteme de semnalizare cu fibră optică și la procedee de localizare a intervenției neautorizate, și poate fi utilizată pentru paza clădirilor și teritoriilor, depozitelor de substanțe chimice și deșeurii radioactive, precum și a obiectelor militare, industriale etc.

Sistemul de semnalizare cu fibră optică conține o fibră optică multimod, în calitate de fibră senzor, un capăt al căreia este unit printr-un dispozitiv de injectare a fasciculului de lumină cu o sursă de lumină coerentă, alt capăt al fibrei fiind unit printr-un receptor CCD cu un modul de formare a semnalului de alarmă, constituit dintr-un computer, care conține un diferențiator numeric al matricelor imaginilor speckle, un sumator al semnalelor-diferență a două imagini speckle înregistrate consecutiv, și

2

un comparator, conectat în paralel la un bloc de setare a nivelului de declanșare a semnalului de alarmă, totodată sistemul conține o a doua fibră optică, în calitate de fibră de referință, un capăt al căreia este unit cu prima fibră printr-un divizor de fascicul 50/50, alt capăt fiind unit printr-un alt receptor CCD cu modulul de formare a semnalului de alarmă.

Procedeul de localizare a intervenției neautorizate, realizat cu ajutorul sistemului definit mai sus, constă în aceea că se procesează pixel-cu-pixel imaginile speckle din câmpul îndepărtat, se compară fiecare cadru curent al imaginii captate de CCD cu cadrul imediat precedent al imaginii speckle, se calculează pixel-cu-pixel diferența dintre aceste două imagini, în cazul când diferența depășește nivelul setat, se declanșează

semnalul de alarmă, totodată, în fibra senzor se formează o distribuție a modurilor de propagare în fibra optică, pentru care semnalul de ieșire S_1 este direct proporțional cu forța de deformare P și cu distanța de la capătul de intrare al fibrei până la locul intervenției neautorizate L : $S_1=k_1PL$, unde k_1 este coeficient de proporționalitate, în fibra de referință se formează o distribuție a modurilor, pentru care semnalul de ieșire S_2 depinde doar de forța de deformare P : $S_2=k_2P$, unde k_2 este

coeficient de proporționalitate, comparatorul formează semnalul de alarmă U ca raportul a două mărimi S_1 și S_2 : $U=S_1/S_2=kL$, unde k este coeficient de proporționalitate, $k=k_1/k_2$, și se determină locul intruziunii din relația: $L=U \cdot k^{-1}$, cu afișarea pe ecran a locului în raport cu capătul de intrare al fibrei optice.

Revendicări: 2

Figuri: 6

(54) Fiber-optic alarm system and method for localization of unauthorized intrusion with its use

(57) Abstract:

1

The invention relates to optoelectronics, in particular to fiber-optic alarm systems and unauthorized intervention localization methods, and can be used for protecting buildings and territories, chemical and radioactive storehouses, as well as military, industrial and other objects.

The fiber-optic alarm system comprises a multimode optical fiber, as a sensor fiber, one end of which is connected by means of a light beam injection device to a coherent light source, the other end of the fiber is connected by means of a CCD-receiver to a warning alarm shaping module, consisting of a computer, comprising a numerical differentiator of speckle image matrixes, an adder of the signal difference of two successively recorded speckle images and a comparator, connected in parallel to a warning alarm triggering level setting unit, at the same time the system is provided with a second optical fiber, as a reference fiber, one end of which is connected to the first fiber via an optical divider 50/50, the other end is connected via another CCD-receiver to the warning alarm shaping module.

The method for localization of unauthorized intrusion, implemented using the above-defined system, consists in pixel-by-

2

pixel processing the speckle images from a remote field, comparing each current frame of the image captured by the CCD with the immediately preceding frame of the speckle image, is pixel-by-pixel calculated the difference between these two images, if the difference exceeds the predetermined level, a warning alarm is triggered, whereas in the sensor fiber is formed the distribution of propagation modes in the optical fiber, for which the output signal S_1 is directly proportional to the deformation force P and the distance from the fiber input end to the unauthorized access point L : $S_1=k_1PL$, where k_1 is the proportionality coefficient, in the reference fiber is formed the distribution of modes, for which the output signal S_2 depends only on the deformation force P : $S_2=k_2P$, where k_2 is the proportionality coefficient, the comparator shapes a warning alarm U as the ratio of two values S_1 and S_2 : $U=S_1/S_2=kL$, where k is the proportionality coefficient, $k=k_1/k_2$, and is determined the intrusion place from the relation: $L=U \cdot k^{-1}$, displaying the intrusion location on the screen relative to the input end of the fiber-optic input.

Claims: 2

Fig.: 6

(54) Волоконно-оптическая система сигнализации и способ локализации несанкционированного вторжения с ее помощью

(57) Реферат:

1
Изобретение относится к оптоэлектронике, а именно к волоконно-оптической системе сигнализации и способам локализации несанкционированного вмешательства, и может быть использовано для охраны зданий и территорий, складов химических веществ и радиоактивных отходов, а также военных, промышленных и других объектов.

Волоконно-оптическая система сигнализации содержит многомодовое оптическое волокно, в качестве сенсорного волокна, один конец которого соединен посредством устройства инжектирования светового пучка с когерентным источником света, а другой конец волокна соединен посредством ПЗС-приемника с модулем формирования сигнала тревоги, состоящим из компьютера, содержащего числовой дифференциатор матриц спекловых изображений, сумматор разности сигналов двух последовательно записанных изображений спекл и компаратор, подключенный параллельно к блоку настройки уровня срабатывания сигнала тревоги, система так же снабжена вторым оптическим волокном, в качестве опорного волокна, один конец которого соединен с первым волокном через оптический делитель 50/50, другой конец подключается через другой ПЗС-приемник к модулю формирования сигнала тревоги.

Способ локализации несанкционированного вторжения,

2
реализованный с помощью системы определенной выше, заключается в обработке пиксель за пикселем спекл изображений из удаленного поля, сравнение каждого текущего кадра изображения, захваченного ПЗС, с непосредственно предшествующим кадром спекл изображения, пиксель за пикселем вычисляется разность между этими двумя изображениями, если разница превышает заданный уровень, срабатывает сигнал тревоги, тогда как в сенсорном волокне формируется распределение мод распространения в оптическом волокне, для которых выходной сигнал S_1 прямо пропорционален силе деформации P и расстоянию от входного конца волокна к месту несанкционированного доступа L : $S_1 = k_1 PL$, где k_1 коэффициент пропорциональности, в опорном волокне формируется распределение мод, для которых выходной сигнал S_2 зависит только от силы деформации P : $S_2 = k_2 P$, где k_2 коэффициент пропорциональности, компаратор формирует сигнал тревоги U как отношение двух значений S_1 и S_2 : $U = S_1/S_2 = kL$, где k - коэффициент пропорциональности, $k = k_1/k_2$, и определяют место вторжения из отношения: $L = U \cdot k^{-1}$, отображая местоположение вторжения на экране относительно входного конца оптоволоконного входа.

П. формулы: 2

Фиг.: 6

Descriere:**(Descrierea se publică în redacția solicitantului)**

5 Invenția se referă la optoelectronică, și anume la sisteme de semnalizare cu fibră optică și la procedee de localizare a intervenției neautorizate, și poate fi utilizată pentru paza clădirilor și teritoriilor, depozitelor de substanțe chimice și deșuri radioactive, precum și a obiectelor militare, industriale etc.

10 Este cunoscut sistemul de pază care conține o serie de fire din cupru coaxiale întinse pe perimetrul obiectului. În momentul unei perturbații exterioare are loc deformarea cablului coaxial și variația semnalului electric transmis prin cablu. Variația semnalului electric declanșează un semnal de alarmă [1].

Neajunsul unui astfel de sistem este complexitatea realizării în practică și sensibilitatea la interferența câmpurilor electromagnetice.

15 Este cunoscută o altă soluție tehnică, în care sistemul cu fibră optică de semnalizare conține o fibră optică multimod, o diafragmă pentru formarea fasciculului de lumină, un fotodetector și un modul de formare a semnalului de alarmă, care la rândul său, include un condensator electric, un comparator, un dispozitiv de formare a impulsului și dispozitivul de afișare digitală [2].

20 Neajunsul unui astfel de sistem de pază constă în valoarea joasă a raportului semnal/zgomot. Acest neajuns este determinat, pe de o parte, de configurația poziției fotoreceptorului față de capătul de ieșire al fibrei optice, și, pe de altă parte, de configurația modului de formare a semnalului de alarmă.

25 Cea mai apropiată soluție tehnică este sistemul de pază cu fibră optică [3] care conține o fibră optică multimod conectată la o sursă de lumină coerentă, un fotoreceptor și un modul de formare a semnalului de alarmă, caracterizat prin aceea că fotoreceptorul este poziționat în câmpul îndepărtat la ieșirea din fibră, coaxial cu ea, și constă dintr-un receptor CCD pentru înregistrarea în regim continuu cu o frecvență stabilită de F cadre pe secundă a imaginii speckle din câmpul îndepărtat la ieșirea din fibra optică, iar modulul de formare al semnalului de alarmă este alcătuit dintr-un calculator (PC), softul căruia conține un diferențiator numeric al matricelor imaginilor speckle, un sumator al semnalelor-diferență a două imagini speckle înregistrate consecutiv și un comparator, care în paralel cu blocul de setare al pragului de sensibilitate, formează semnalul de alarmă când suma semnalelor-diferență a două imagini speckle înregistrate consecutiv, depășește pragul setat de sensibilitate al sistemului de pază.

35 Neajunsul acestui sistem este lipsa posibilității de localizare a intervenției neautorizate.

Problema tehnică rezolvată de invenție constă în localizarea intervenției neautorizate.

40 Invenția soluționează problema prin aceea, că sistemul de pază cu fibră optică, care conține o fibră multimod, fibra-senzor, conectată la o sursă de lumină coerentă, un fotoreceptor și un modul de formare a semnalului de alarmă U, unde fotoreceptorul este poziționat la ieșire în câmpul îndepărtat al fibrei optice și este reprezentat de o matrice CCD pentru înregistrarea în regim continuu cu o frecvență stabilită de F cadre pe secundă a imaginii speckle din câmpul îndepărtat al fibrei optice, iar modulul de formare al semnalului de alarmă este alcătuit de un PC, softul căruia conține un diferențiator numeric al matricelor imaginilor speckle, un sumator al semnalelor-diferență a două imagini speckle înregistrate consecutiv și un comparator paralel cu blocul de setare al pragului de sensibilitate, care declanșează semnalul de alarmă când semnalul de ieșire, format ca suma semnalelor-diferență a două imagini speckle înregistrate consecutiv, depășește pragul setat de sensibilitate al sistemului de pază, caracterizat prin aceea că, pentru localizarea intruziunii sistemul este prevăzut cu o a doua fibră optică 2, fibra de referință, amplasată paralel și în contact nemijlocit cu fibra-senzor 1, având la rândul ei un receptor CCD la ieșirea din fibră în câmpul îndepărtat, conectat la PC, un divizor de fascicul, care formează două fascicule optice, injectate respectiv în fibra-senzor 1 și fibra de referință 2.

50 Procedul pentru localizarea intervenției neautorizate într-un sistem de pază cu fibră optică, definit conform invenției, include formarea în fibra-senzor 1 a unei distribuții a modurilor de propagare, pentru care semnalul de ieșire S_{f1} în fibra-senzor, obținut prin procesarea imaginii speckle din câmpul îndepărtat, este proporțional cu distanța de la capătul de intrare al fibrei până la locul intervenției neautorizate L, forța de deformare P, și coeficientul k_1 :

$$S_{f1} = k_1LP, \quad (1)$$

iar în fibra de referință 2 se formează o astfel de distribuție a modurilor, pentru care semnalul de ieșire S_{f2} depinde doar de forța de deformare P și nu depinde de distanța L:

$$S_{f2} = k_2P, \quad (2)$$

astfel, că semnalul de alarmă U , format de procesor ca raport al mărimilor S_{f1} și S_{f2} nu depinde de forța de deformare P , și este funcție de distanța L de la capătul de intrare al fibrei optice până la locul intervenției neautorizate:

$$U = S_{f1}/S_{f2} = kL, \text{ unde } [k] = \text{m}^{-1} \quad (3)$$

5 unde mărimea $k = k_1/k_2$.

Rezultatul tehnic obținut al invenției constă în localizarea intervenției neautorizate, $L = k^{-1}U$. Rezultatul tehnic obținut se datorează faptului că în fibra-senzor 1 se formează o astfel de distribuție a modurilor, pentru care semnalul de ieșire în câmpul îndepărtat al fibrei-senzor S_{f1} este funcție de forța de deformare în locul intervenției neautorizate P , distanța până la locul intervenției neautorizate L de la capătul de intrare al fibrei optice și un coeficient de proporționalitate k_1 , $S_{f1} = k_1LP$. În același timp, în fibra de referință 2 este formată o astfel de distribuție a modurilor, pentru care semnalul de ieșire din câmpul îndepărtat S_{f2} , este o funcție care depinde doar de forța de deformare a fibrei P în locul intervenției neautorizate și un coeficient de proporționalitate k_2 , $S_{f2} = k_2P$. Astfel, semnalul de alarmă U , care este obținut ca raport al mărimilor S_{f1} și S_{f2} , reprezintă mărimea $U = S_{f1}/S_{f2} = kL$. Din aceasta relație obținem $L = k^{-1}U$ (m).

Mărimea U este o funcție, care depinde doar de distanța L de la capătul de intrare al fibrei optice până la locul intruziunii. Prin calibrarea mărimii U în raport cu distanța L vom pune fiecărei valori a mărimii U o singură valoare a distanței L , localizând astfel locul intervenției neautorizate.

Fiecare din receptorii CCD sunt poziționați în câmpul îndepărtat la ieșirea fibrei-senzor 1 și a fibrei de referință 2 respectiv, și sunt conectați la un PC, care îndeplinește funcția modulului de formare a semnalului de alarmă și procesează pixel-cu-pixel imaginile speckle captate de receptorii CCD. Frecvența de captare a cadrelor F înregistrate de CCD este setată având o anumită valoare, care satisface relației empirice: $1 < F < 5$ cadre pe secundă.

Conform softului elaborat PC procesează pixel-cu-pixel imaginile speckle și compară fiecare cadru curent al imaginii captate de CCD cu cadrul imediat precedent al imaginii speckle și calculează pixel-cu-pixel diferența acestor două imagini. În cazul când diferența a două imagini depășește pragul setat, este declanșat semnalul de alarmă. Softul cu care operează PC este prevăzut cu posibilitatea de setare a pragului de jos de declanșare al semnalului de alarmă, excluzând astfel semnalele false care pot fi provocate de condițiile mediului, acțiunea unor factori naturali, meteo etc. Softul poate afișa pe monitorul PC semnalul de la fibra-senzor și valoarea distanței L până la locul intervenției neautorizate.

Invenția este ilustrată în următoarele figuri:

35 Fig. 1. Ilustrare a imaginii speckle la ieșirea din fibra multimod.

Fig. 2. Reprezentare schematică a sistemului de pază: 1 - fibra-senzor; 2 - fibra optică de referință; 3 - sursă de lumină coerentă; 4 - dispozitiv de injectare a fasciculului de lumină; 5 - divizor de fascicul de lumină cu fibră optică; 6, 7 - receptori CCD; 8 - procesor/PC.

40 Fig. 3. Ilustrare a variației liniare a semnalului S_{f1} la capătul de ieșire al fibrei-senzor în raport cu distanța de la capătul de intrare al fibrei.

Fig. 4. Ilustrare a semnalului S_{f2} la capătul de ieșire al fibrei optice de referință vs. distanța de la capătul de intrare al fibrei optice.

45 Fig. 5. Ilustrare a algoritmului de procesare a imaginii speckle și formare a semnalului de alarmă: 1 - fibra-senzor; 2 - fibra optică de referință; 3 - sursă de lumină coerentă; 4 - dispozitiv de injectare a fasciculului de lumină; 5 - divizor de fascicul de lumină cu fibră optică; 6, 7 - receptori CCD; 8 - procesor/PC; 9 - deformare mecanică la intruziune; 10 - captare imagine curentă F_k ; 11 - captare imagine de referință (imagine imediat precedentă F_{k-1}); 12 - scădere matrice F_{k-1} și F_k ; 13 - sumare a elementelor matricei F_{dk} ; 14 - setare nivel de declanșare; 15 - semnal de ieșire S_k ; 16 - formare semnal de alarmă S_{f1}/S_{f2} ; 17 - afișare pe monitor/sonorizare a semnalului de alarmă.

50 Fig. 6. Exemplu de vizualizare pe monitor al semnalului de alarmă și afișare a distanței până la locul intervenției neautorizate.

Sistemul de pază cu fibră optică (Fig. 2, 5) conține o fibră optică multimod (fibra-senzor) 1, fibra optică de referință 2, sursa de lumină coerentă 3 cuplată la un divizor de fascicul 5, dispozitiv de injectare a fasciculului de lumină 4, doi receptori CCD 6 și 7 și un PC 8. Procesorul PC formează semnalul de alarmă când perturbația exterioară, care acționează pe suprafața laterală a fibrei optice și semnalul înregistrat de CCD depășește pragul de declanșare a semnalului de alarmă setat.

Sistemul de pază cu fibră optică funcționează în felul următor:

Perturbația exterioară acționează asupra suprafeței laterale a fibrei optice-senzor 1. Fasciculul de lumină de la sursa de lumină coerentă 3, care este injectat în capătul de intrare a fibrei optice (1), se propagă prin fibra optică și formează la ieșire în câmpul îndepărtat al fibrei tabloul de interferență a modurilor de propagare - imaginea speckle (Fig. 1). Distribuția spațială a imaginii speckle în câmpul îndepărtat este dependentă de acțiunea perturbațiilor mecanice care acționează pe suprafața laterală a fibrei optice. Distribuția modurilor care se propagă în fibra optică multimod este determinată de indicii de refracție al fibrei optice, diametrul miezului și de susceptibilitatea acestor parametri la perturbațiile care produc deformații mecanice ale fibrei. Distribuția intensității luminii de probă la ieșire în câmpul îndepărtat al fibrei optice conține informație despre perturbațiile formate în urma acționării externe asupra fibrei optice. Perturbațiile mecanice care acționează asupra fibrei produc schimbări ale distanței optice parcurse de modurile de propagare în fibra optică. Ca rezultat are loc variația fazei modurilor de propagare și respectiv variația distribuției intensității tabloului de interferență în câmpul îndepărtat (Fig. 1). Fotoreceptorul CCD plasat în planul câmpului îndepărtat la ieșirea din probă înregistrează distribuția spațială a imaginii speckle în raport cu perturbațiile mecanice care acționează asupra fibrei optice. În felul acesta este pusă în corelație directă semnalul de ieșire al receptorului cu perturbațiile mecanice care acționează asupra fibrei optice.

În calitate de fotoreceptor este folosită o matrice CCD, iar în calitate de dispozitiv de achiziție și procesare a imaginii optice - un calculator (PC), prevăzut cu un soft care procesează imaginea speckle din câmpul îndepărtat la ieșire din fibră și formează semnalul de ieșire în raport cu amplitudinea perturbațiilor mecanice care acționează asupra suprafeței laterale a fibrei optice. Astfel, imaginea de interferență din câmpul îndepărtat pentru fiecare moment de timp t_k este pusă în corelație directă cu o matrice de date F_k . Fiecare element $\langle x_i, y_i \rangle$ al acestei matrice, numite în continuare matricea curentă F_k , reprezintă intensitatea la momentul de timp t_k într-un anumit pixel al receptorului CCD având coordonatele x_i, y_i . Semnalul de ieșire al receptorului este format prin sumarea valorilor absolute ai tuturor elementelor matricei F_{dk} , care la rândul ei reprezintă diferența dintre matricea curentă F_k și matricea precedentă F_{k-1} (Fig. 5).

Algoritmul pentru procesarea imaginii speckle este bazat pe principiul comparării imaginii curente, captate de receptorul CCD în momentul de timp $t = t_k$ cu imaginea imediat precedentă captată în momentul de timp t_{k-1} . Receptorul CCD captează imaginea speckle în momentul de timp t_k și această imagine este stocată în memoria bufer (Aici și în continuare când vorbim de stocarea și procesarea imaginilor subînțelegem stocarea și procesarea matricelor imaginilor respective). Următorul cadru al imaginii speckle este captat în momentul de timp t_{k-1} . Fiecare din imaginea curentă I_k este scăzută pixel-cu-pixel din imaginea precedentă I_{k-1} conform relației:

$$I_k^d(x_i, y_j) = |I_k(x_i, y_j) - I_{k-1}(x_i, y_j)|, \quad (4)$$

$$i = 1, 2, 3, \dots, r_1, \quad j = 1, 2, 3, \dots, r_2,$$

unde I_k^d reprezintă valoarea absolută a diferenței semnalului pentru pixelul n cu coordonatele (x, y) corespunzător momentului de timp t_k . Următorul pas al operației de procesare este sumarea tuturor semnalelor I_k^d de la toți M -pixeli ale matricei CCD ($M = r_1 \cdot r_2$) și determinarea valorii absolute a semnalului de ieșire S_k pentru momentul de timp t_k :

$$S_k = \sum_{i=1}^{r_1} \sum_{j=1}^{r_2} I_k^d(x_i, y_j), \quad (5)$$

unde r_1 și r_2 reprezintă rezoluția receptorului CCD pe axa x - și y - respectiv. Valoarea numerică a sumei S_k poate fi afișată pe monitor în formă grafică în calitate de semnal de ieșire pentru fiecare moment de timp t_k . Algoritmul de procesare a imaginii speckle și formarea semnalului de alarmă este ilustrat în Fig. 5.

La acțiunea unei perturbații mecanice pe fibra-senzor semnalul de ieșire crește de la valoarea „0” până la valoarea maximală, determinată de amplitudinea perturbației mecanice care acționează asupra fibrei optice și de distribuția modurilor. Conform invenției, prin excitarea controlată a modurilor, este creată o astfel de distribuție a modurilor în fibra optică-senzor 1, pentru care semnalul de ieșire S_{fl} este proporțional forței de deformație P și distanței de la capătul de intrare al fibrei până la locul intervenției neautorizate L (Fig. 5):

$$S_{fl} = k_1 PL$$

Pe de alta parte, in fibra de referință este creată o astfel de distribuție a modurilor, pentru care semnalul de ieșire a fibrei de referință S_{f2} este dependent doar de forța de deformație P și nu depinde de distanța L (Fig. 4):

$$S_{f2} = kP$$

5 Semnalul de alarmă U este format ca raportul a două mărimi S_{f1} și S_{f2} , astfel obținem:

$$U = S_{f1}/S_{f2} = k_1PL/k_2P = kL,$$

unde k este un coeficient de proporționalitate, $k = k_1/k_2$, $[k] = m^{-1}$.

În felul acesta mărimea $U = kL$ ne prezintă informația despre locul intervenției neautorizate L în raport cu capătul de intrare al fibrei optice, $L = U \times k^{-1}$. Pentru aplicații practice se va face calibrarea sistemului de pază, L vs. U .

10 Exemplu

Un laser HeNe (JIT-113) injectează în capătul de intrare a fibrei optice-senzor 1 un fascicul de lumină coerentă, iar la ieșire în câmpul îndepărtat al fibrei optice coaxial cu fibra este poziționat un receptor CCD 6, conectat la procesor/PC 8 (Fig. 2, 5). Prin intermediul unui divizor de fascicul 5 fasciculul de lumină este injectat în fibra-senzor 1 și fibra optică de referință 2. Fiecare din receptorii 6 și 7 reprezintă o matrice CCD tip HDCS-1020 CMOS cu dimensiunile unui pixel $7,4 \times 7,4 \mu m$, și dimensiunile imaginii VGA 640?480.

Modulul de formare a semnalului de alarmă este reprezentat de un calculator (PC) 8 care formează semnalul de ieșire în dependență de acțiunea perturbațiilor mecanice pe suprafața laterală a fibrei optice. Lungimea fibrei optice cu profilul indicelui de refracție în treaptă este de 16 m, diametrul învelișului fibrei este de $125 \mu m$, și diametrul miezului este de $50 \mu m$.

Pentru formarea semnalului de ieșire imaginea speckle din câmpul îndepărtat pentru fiecare moment de timp t_k se pune în corelație directă cu o matrice de date curente F_k 10. Fiecare din elementele (x_i, y_i) ale matricei de date curente F_k reprezintă valoarea intensității înregistrate de pixelul cu coordonatele x_i, y_i ale senzorului CCD. Semnalul de ieșire S_k este format prin sumarea valorilor absolute a tuturor elementelor matricei F_{dk} 13, iar matricea F_{dk} la rândul ei, reprezintă diferența dintre matricea curentă F_k 10 și matricea imediat precedenta F_{k-1} 11 captată în momentul de timp t_{k-1} .

Algoritmul pentru procesarea imaginii speckle din câmpul îndepărtat este bazat pe compararea imaginii curente captate de CCD în momentul de timp $t = t_k$ cu imaginea imediat precedentă captată în momentul de timp t_{k-1} . Senzorul CCD captează imaginea de interferență în momentul de timp t_k și această imagine este stocată în memoria bufer. Următorul cadru al imaginii de interferență este captat în momentul de timp t_{k-1} . Fiecare din imaginea curentă I_k este scăzută pixel-cu-pixel din imaginea precedenta I_{k-1} conform relației:

$$35 \quad I_k^d(x_i, y_j) = |I_k(x_i, y_j) - I_{k-1}(x_i, y_j)|,$$

$$i = 1, 2, 3, \dots, r_1, \quad j = 1, 2, 3, \dots, r_2,$$

unde I_k^d reprezintă valoarea absolută a diferenței semnalului pentru pixelul n cu coordonatele (x, y) corespunzător a două imagini luate în momentul de timp t_k și în momentul de timp t_{k-1} . Următorul pas al operației de procesare este sumarea tuturor semnalelor I_k^d pentru M -pixeli și determinarea valorii absolute S_k corespunzătoare momentului de timp t_k :

$$40 \quad S_k = \sum_{i=1}^{r_1} \sum_{j=1}^{r_2} I_k^d(x_i, y_j),$$

unde r_1 și r_2 reprezintă rezoluția senzorului CCD pe axa X- și Y- respectiv.

Valoarea numerică a sumei S_k 15 este comparată cu nivelul setat de declanșare a semnalului de alarmă 14. În cazul când valoarea S_k 15 depășește nivelul setat de declanșare are loc activarea declanșarea semnalului de alarmă.

45 Pentru fibra-senzor 1 semnalul de ieșire, notat S_{f1} , este funcție forța de deformația P , distanța L și coeficientul de proporționalitate k_1 (Fig. 4):

$$S_{f1} = k_1PL.$$

Pentru fibra de referință 2 semnalul de ieșire, notat S_{f2} , este direct proporțional cu forța de deformație P și cu coeficientul de proporționalitate k_2 (Fig. 5):

$$50 \quad S_{f2} = k_2P.$$

Semnalul de alarmă U al sistemului de pază este format prin determinarea raportului S_{f1}/S_{f2} :

$$U = S_{f1}/S_{f2} = kL, \quad [k] = m^{-1}.$$

Locul intervenției neautorizate L este determinat din relația $L = U \times k^{-1}$ și afișat pe monitor (Fig. 6).

Pentru calibrarea sistemului de pază se înregistrează dependența semnalului de ieșire S_{f1} și S_{f2} în raport cu distanța L . Imaginile din Fig. 3 și Fig. 4 exemplifică această procedură. Pentru măsurători în laborator valoarea forței de deformație este egală $P = 0,2$ N. Din dependența $S_{f1} = f(L)$ din Fig. 3 este determinată valoarea coeficientului k_1 , $k_1 = S_{f1}/PL = (1,15 \times 10^6)/(0,2 \times 4) = 1,44 \times 10^6$ ($N^{-1}m^{-1}$). În același mod, din dependența experimentală din Fig. 4 este determinată valoarea coeficientului k_2 , $k_2 = (0,96 \times 10^6)/0,2 = 4,8 \times 10^6$ (N^{-1}). În consecință valoarea coeficientului k pentru exemplul dat este egală, $k = 0,3$ (m^{-1}). În condiții reale fiecare sistem de pază este calibrat.

(56) Referințe bibliografice citate în descriere:

1. "Умные" датчики для интеллектуальных систем безопасности, 2017.01.11, [regăsit la 2018.11.28]. Găsit pe: <http://www.gsm-guard.net/press4_1.html>
2. RU 2079888 C1 1997.05.20
3. MD 298 Y 2010.11.30

(57) Revendicări:

1. Sistem de semnalizare cu fibră optică, care conține o fibră optică multimod, în calitate de fibră senzor, un capăt al căreia este unit printr-un dispozitiv de injecție a fasciculului de lumină cu o sursă de lumină coerentă, alt capăt al fibrei fiind unit printr-un receptor CCD cu un modul de formare a semnalului de alarmă, constituit dintr-un computer, care conține un diferențiator numeric al matricelor imaginilor speckle, un sumator al semnalelor-diferență a două imagini speckle înregistrate consecutiv, și un comparator, conectat în paralel la un bloc de setare a nivelului de declanșare a semnalului de alarmă, caracterizat prin aceea că sistemul conține o a doua fibră optică, în calitate de fibră de referință, un capăt al căreia este unit cu prima fibră printr-un divizor de fascicul 50/50, alt capăt fiind unit printr-un alt receptor CCD cu modulul de formare a semnalului de alarmă.

2. Procedeu de localizare a intervenției neautorizate, realizat cu ajutorul sistemului definit în revendicarea 1, care constă în aceea că se procesează pixel-cu-pixel imaginile speckle din câmpul îndepărtat, se compară fiecare cadru curent al imaginii captate de CCD cu cadrul imediat precedent al imaginii speckle, se calculează pixel-cu-pixel diferența dintre aceste două imagini, în cazul când diferența depășește nivelul setat, se declanșează semnalul de alarmă, totodată, în fibra senzor se formează o distribuție a modurilor de propagare în fibra optică, pentru care semnalul de ieșire S_1 este direct proporțional cu forța de deformație P și cu distanța de la capătul de intrare al fibrei până la locul intervenției neautorizate L :

$$S_1 = k_1 PL,$$

unde k_1 este coeficient de proporționalitate,

în fibra de referință se formează o distribuție a modurilor, pentru care semnalul de ieșire S_2 depinde doar de forța de deformație P :

$$S_2 = k_2 P,$$

unde k_2 este coeficient de proporționalitate,

comparatorul formează semnalul de alarmă U ca raportul a două mărimi S_1 și S_2 :

$$U = S_1/S_2 = kL,$$

unde k este coeficient de proporționalitate, $k = k_1/k_2$,

și se determină locul intruziunii din relația:

$$L = U \cdot k^{-1},$$

cu afișarea pe ecran a locului în raport cu capătul de intrare al fibrei optice.

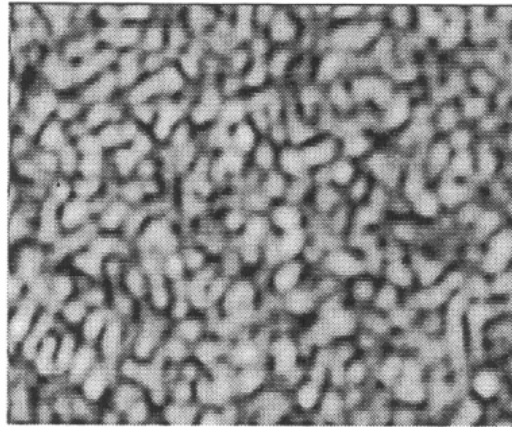


Fig. 1

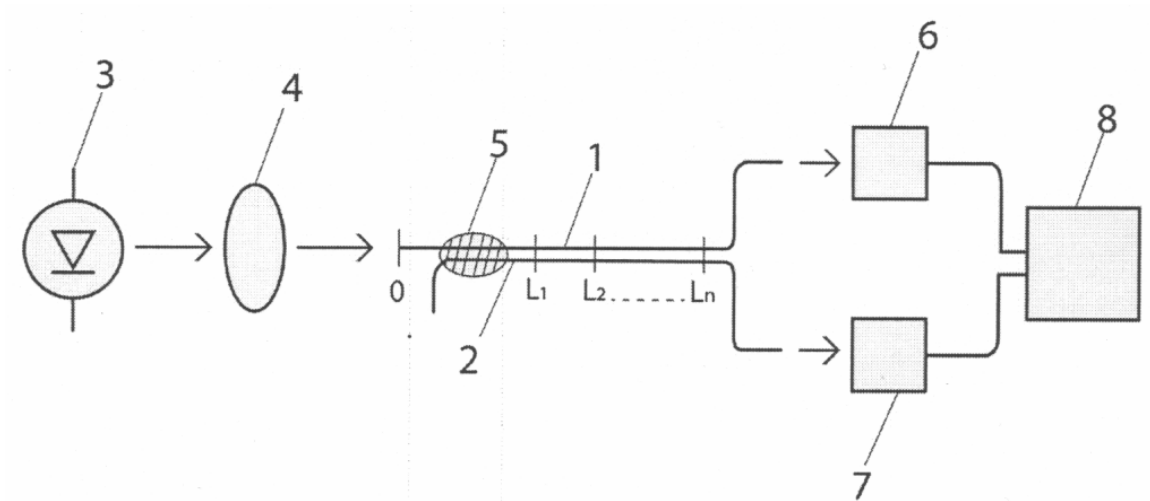


Fig. 2

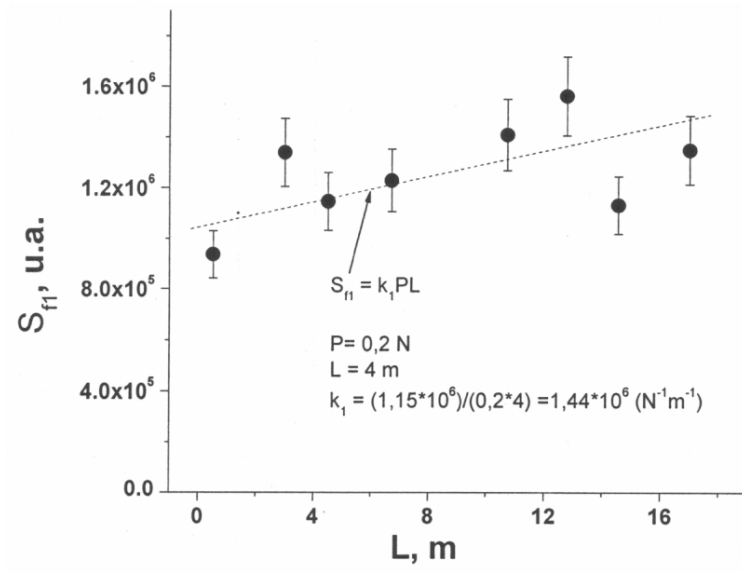


Fig. 3

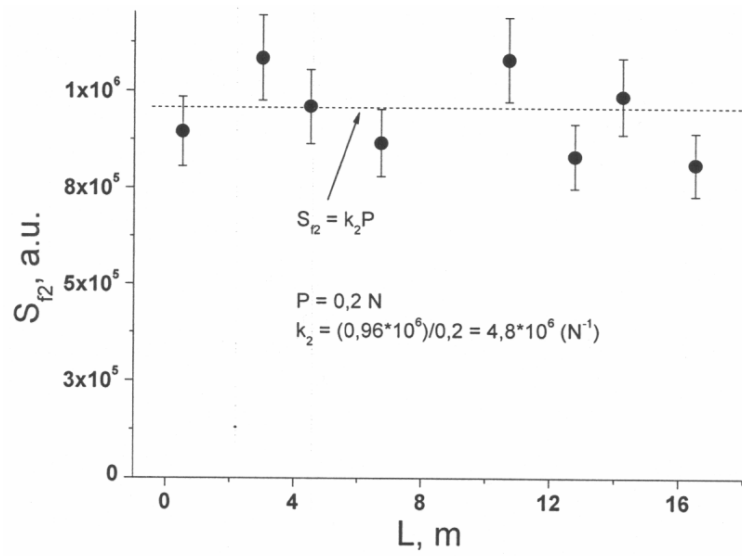


Fig. 4

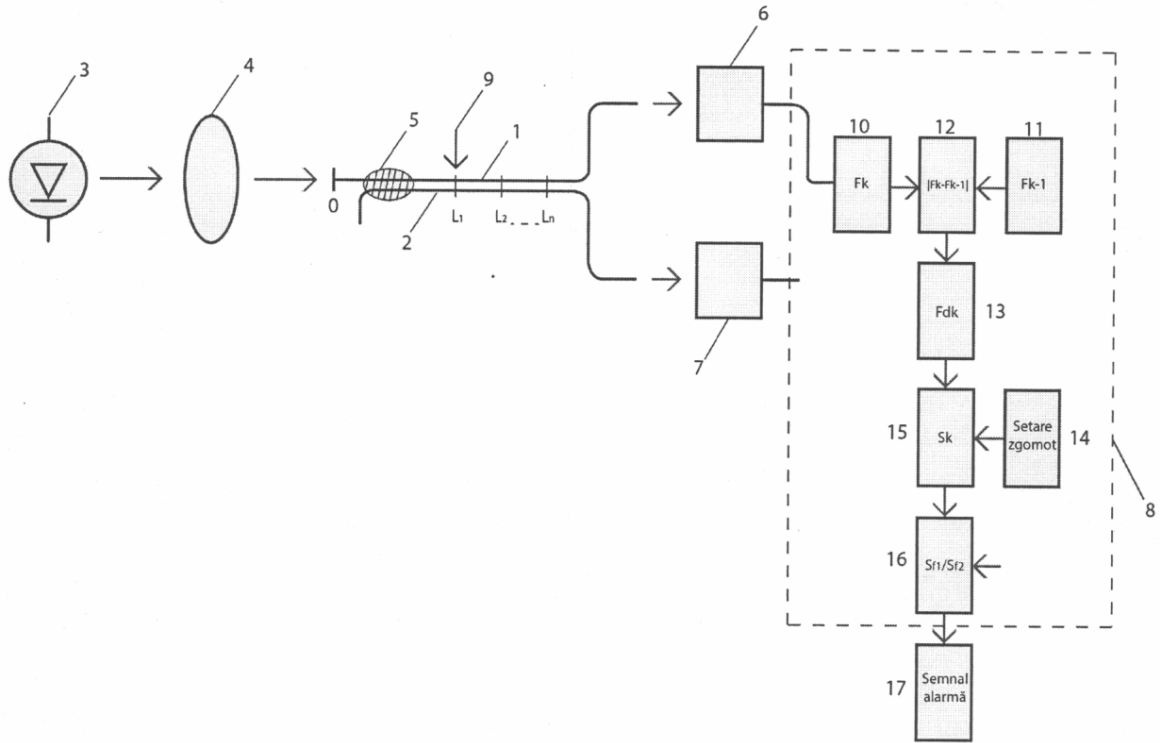


Fig. 5

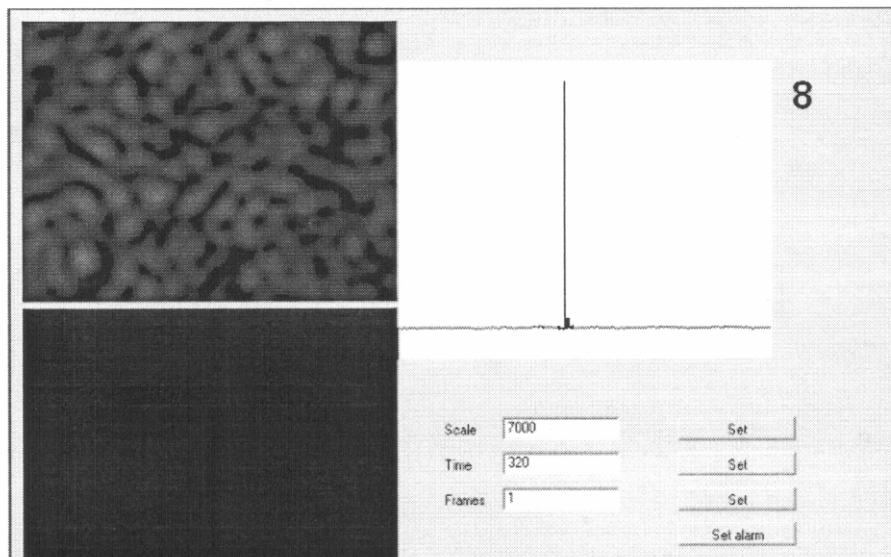


Fig. 6